

فهرست گزارش سوالات (لطفاً پس از تکمیل گزارش، این فهرست را به روز کنید).

سوال 1 – Variational Autoencoder 2

سوال ۲ – Cycle GAN 25

سوال 1 – Variational Autoencoder

توضیحات ساز و کار و معماری شبکه VAE :

همانگونه در متن مربوط به سوالات هم اشاره شده بر خلاف شبکه Autoencoder معمول که از فضای اولیه به ثانویه یک نگاشت و برای بازگشتن از فضای ثانویه به اولیه نیز یک نگاشت مشخص برای هر sample داریم ، در VAE در فضای ثانویه (Latent) که ما در این سوال دو بعدی در نظر گرفته ایم از یک distribution به شرط مشاهده ی فضای sample ورودی استفاده می کنیم. بدین صورت که با فرض توزیع گوسی در این فضا ، به کمک نمونه گیری Mean و std deviation را برای ساخت z بکار می گیریم.

$$\text{latent} = \text{mean} + \exp(0.5 \times \text{variance}) \times \text{eps}$$

که در رابطه فوق epsilon پارامتر رندوم نویزی ما را نشان می دهد.

حال در قسمت decoder در نظر گرفته می شود که متغیر رندوم z به مدل generative ما داده می شود و هدف ما ماکسیم کردن لایکلیت نقاط دیده شده می باشد(با توجه به سمپل های ورودی). در این قسمت مشاهده نویزی بصورت زیر تعریف می نماییم.

$$x' = G_{\theta}(z)$$

$$P_{\theta}(x|z) = N(x; G_{\theta}(z), \xi I)$$

با توجه به توزیع توام x و z می نویسیم.

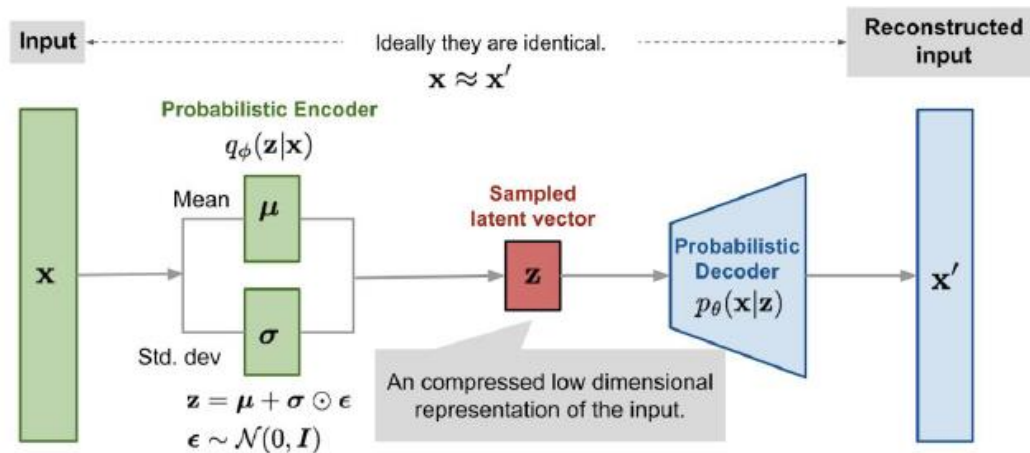
$$p(x) = \int p(z)p(x|z)dz$$

توزیع z بصورت prior گوسی فرض می شود. برای X توزیع $P_{\theta}(x|z)$ را داریم و در پروسه ترینینگ سعی داریم با بدست آوردن تقریبی از آن در قسمت Decoder به تولید داده پردازیم. این کار توسط پیدا کردن یک حد پایین از $\log p_{\theta}(x)$ انجام می شود. در مقاله ی ارجاع داده شده ثابت می شود که داریم :

$$\log p_{\theta}(x) > D_{KL}(q||p)$$

$$L_{\theta,q}(x) = E_z. \log \frac{P_{\theta}(x,z)}{q_{\theta}(z|x)}$$

با توجه به رابطه فوق Loss کل را مجموع loss در قسمت reconstruction و D(KL) که همان kl می باشد در نظر گرفته می شود. (این قسمت بطور کامل تر در بخش ب و ج توضیح داده شده است).



شکل (۱-۱) معماری شبکه VAE

الف) مطابق توضیحات داده شده در بخش ابتدایی در این قسمت می خواهیم ساختار شبکه به کار رفته در کد را مورد بررسی قرار دهیم.

بعد از اعمال preprocess معمول آرایش زیر را برای قسمت encoder داریم.

Layer (type)	Output Shape	Param #	Connected to
input_5 (InputLayer)	[(None, 28, 28, 1)]	0	
conv2d_5 (Conv2D)	(None, 14, 14, 32)	320	input_5[0][0]
conv2d_6 (Conv2D)	(None, 7, 7, 64)	18496	conv2d_5[0][0]
flatten_2 (Flatten)	(None, 3136)	0	conv2d_6[0][0]
dense_3 (Dense)	(None, 16)	50192	flatten_2[0][0]
mean (Dense)	(None, 2)	34	dense_3[0][0]
log_variance (Dense)	(None, 2)	34	dense_3[0][0]
lambda_2 (Lambda)	(None, 2)	0	mean[0][0] log_variance[0][0]
Total params: 69,076			
Trainable params: 69,076			
Non-trainable params: 0			

شکل (۲-۱) آرایش بکار رفته در قسمت Encoder

شکل ۲-۱) نشان می دهد که بعد از گرفتن ورودی در قسمت input layer به وسیله ی دو لایه ی Conv2D و در نهایت flatten کردن خروجی این قسمت از یک لایه ی Dense می گذرانیم. در این مرحله توسط تابع تعریف شده sample_latent_feature مطابق توضیحات داده شده در بخش ابتدایی به ساخت بردار z ساخته شده از میانگین و واریانس در این فضا می پردازیم. خروجی encoder فضای latent ما را تشکیل می دهد.

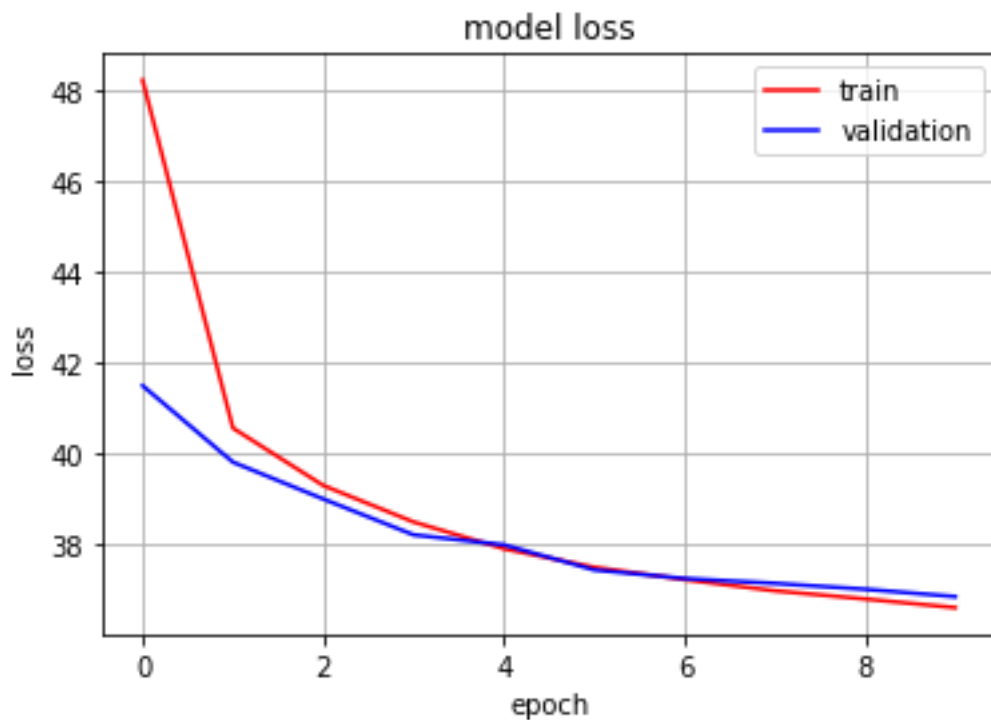
برای قسمت Decoder مطابق شکل ۳-۱ داریم :

Layer (type)	Output Shape	Param #
input_6 (InputLayer)	[(None, 2)]	0
dense_4 (Dense)	(None, 3136)	9408
reshape_1 (Reshape)	(None, 7, 7, 64)	0
conv2d_transpose_4 (Conv2DTr	(None, 14, 14, 64)	36928
conv2d_transpose_5 (Conv2DTr	(None, 28, 28, 32)	18464
conv2d_transpose_6 (Conv2DTr	(None, 28, 28, 1)	289
Total params: 65,089		
Trainable params: 65,089		
Non-trainable params: 0		

شکل ۳-۱) آرایش بکار رفته در قسمت Decoder

مطابق شکل ۳-۱) توسط Conv2Dtranspose سعی در تنظیم پارامترها به نحوی داریم که به فرم ورودی بازگردیم این کار توسط reshape کردن در لایه ها صورت گرفته است. خروجی لایه ی آخر نشان می دهد که از نظر ابعاد به ورودی بازگشته ایم. در ادامه نتایج این پیاده سازی را مورد بررسی قرار می دهیم.

نمودار loss در طی ۱۰ اپیاک بصورت شکل ۴-۱ می باشد.



شکل (۴-۱) نمودار loss در هر اپیاک

(ب)

$$\log p_{\theta}(x) = E_z \left(\log \frac{P_{\theta}(x, z)}{q_{\phi}(z | x)} \right) + E \left(\log \frac{q_{\phi}(x, z)}{P_{\theta}(z | x)} \right)$$

تابع هزینه ی کل (در کد total_Loss) مجموع loss مربوط به $D_{KL}(q \| p)$ که نشان دهنده ی نزدیکی توزیع p و نزدیکی آن به تخمین q از آن می باشد و ترم دوم که از بخش دیکودر و مربوط به maximum کردن لایکلیهود ساخته شده می باشد تشکیل شده است. حضور ترم اول باعث می شود که تخمین بکار رفته بعنوان حد پایین برای log likelihood در قسمت انکودر Max شده و در نتیجه فضای latent در نظر گرفته شده تا حد امکان به خروجی انکودر نزدیک باشد..

(ج)

در قسمت محاسبه back propagation و آپدیت کردن وزن های شبکه ماهیت رندونس فضای z برای ما مسئله ایجاد کرده و نمی دانیم چگونه وزن های مربوط به آن را آپدیت کنیم (ترم های مشتق گیری). برای این کار از یک trick محاسباتی استفاده می شود که در ادامه شرح داده می شود که به آن parametrization trick گفته می شود.

با توجه به ترم ارور میان x, x' گرادیان را نسبت به θ, φ تشکیل می دهیم. (unbiased)

$$\nabla_{\theta} L_{\theta, \varphi}(x) = \nabla_{\theta} E[\log P_{\theta}(x, z) - \log q_{\varphi}(z | x)]$$

که در عبارت فوق می توان ترم گرادیان را داخل expectation نمود. با نوشتن ترم گرادیان برای φ اما این کار مجاز نیست چرا که در هر تکرار یک eps رندوم انتخاب شده است. در اینجا به کمک parametrization trick این مسئله را حل می نماییم. (این بخش بعلت طولانی بودن بصورت عکس ضمیمه می شود).

unbiased estimate of $\nabla_{\varphi} L_{\theta, \varphi}(x)$ (*)

$$\nabla_{\varphi} L_{\theta, \varphi} = \nabla_{\varphi} E_{z \sim q_{\varphi}(z|x)} [\log P_{\theta}(x, z) - \log q_{\varphi}(z|x)] \neq E \nabla(\cdot)$$

$$\xrightarrow{\text{trick}} L_{\theta, \varphi}(x) = E_{z \sim q_{\varphi}(z|x)} (\log P_{\theta}(x, z) - \log q_{\varphi}(z|x))$$

$$= E_{\varepsilon \sim P(\varepsilon)} (\log P_{\theta}(x, z) - \log q_{\varphi}(z|x))$$

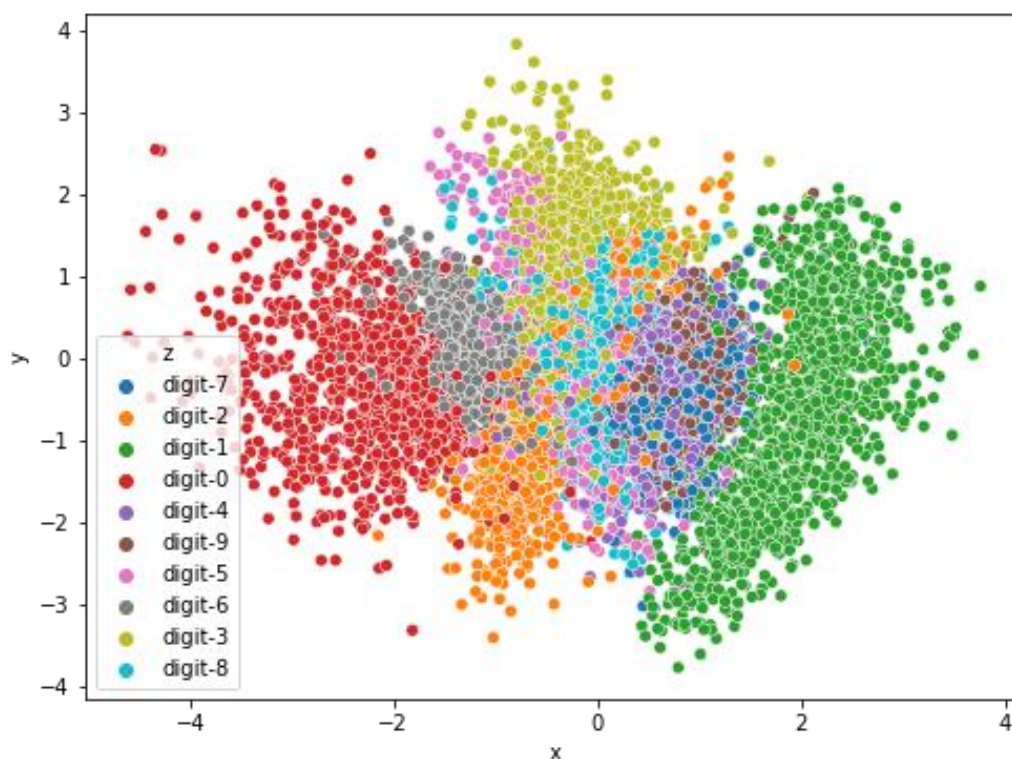
که در ادامه می بینیم

$$\left\{ \begin{aligned} z &= z(x, \varphi, \varepsilon) \\ \hat{L}_{\theta, \varphi}(x) &= \log P_{\theta}(x, z) - \log q_{\varphi}(z|x) \end{aligned} \right.$$

$\hat{L}_{\theta, \varphi}$ را بعنوان unbiased Estimator برای (*) در نظر می گیریم

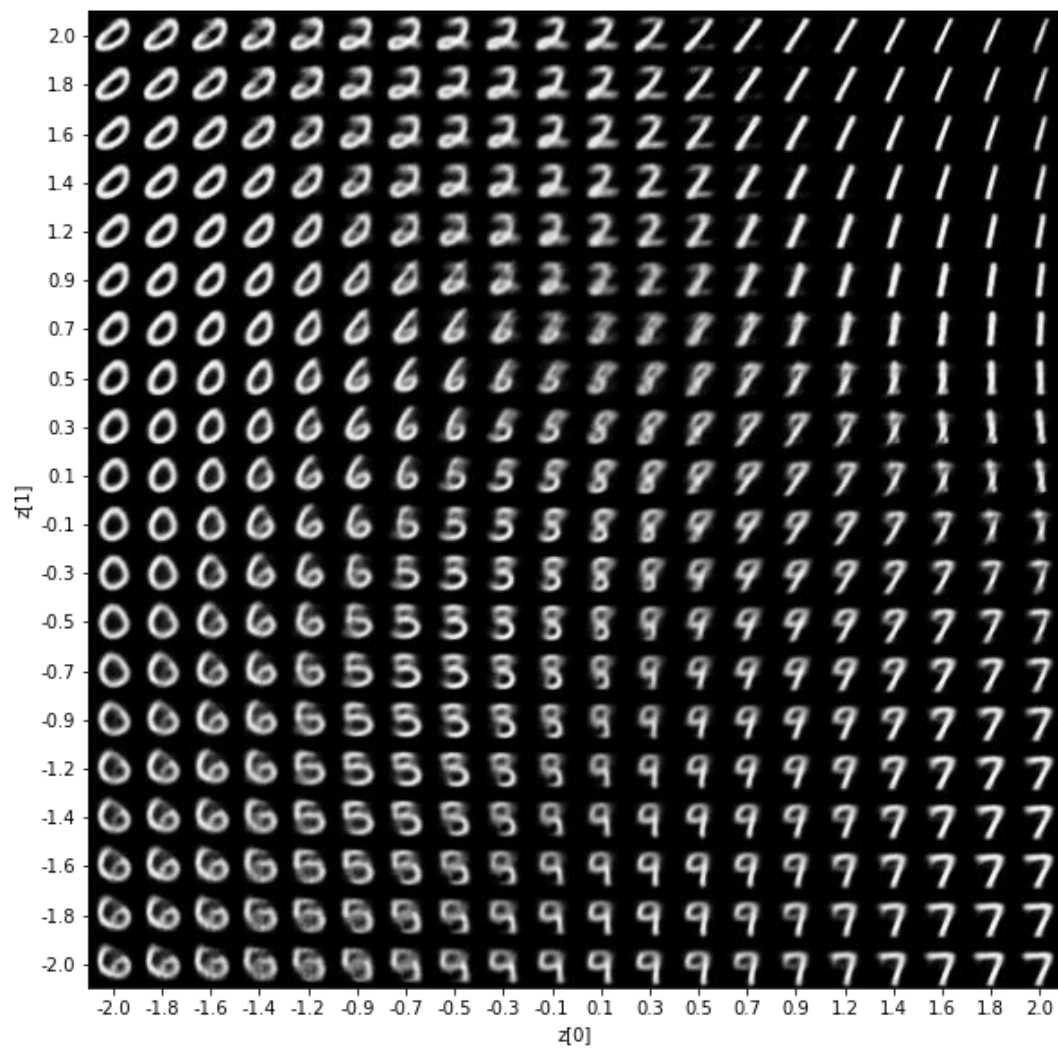
تصویر ۱) نحوه اعمال reparametrization trick برای محاسبه ی وزن ها

د) داده های ترین Mnist را که به فضای z یا latent برده شده اند توسط scatterplot با توجه به کلاس رقم مربوط به آن در شکل ۵-۱ آورده ایم.



شکل ۵-۱) نحوه ی پخش هر کلاس در فضای z

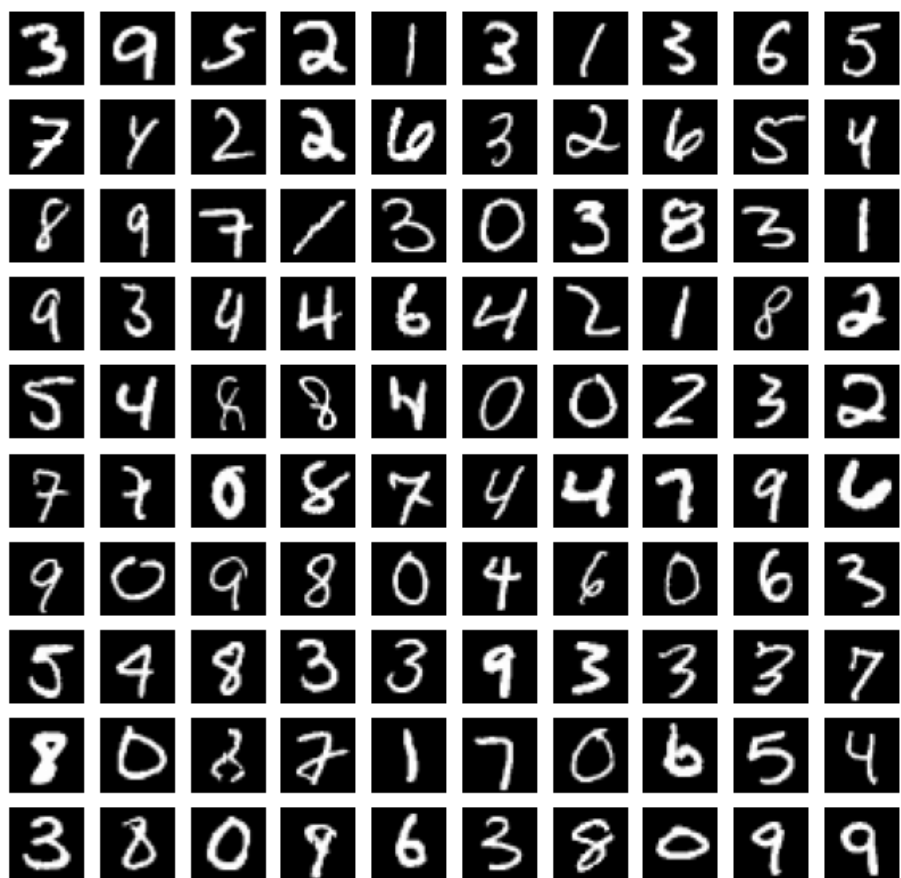
ه) با توجه به شکل ۵-۱) گریدی را در نظر می گیریم به نوعی که بتواند عمده ی فضای پوشش داده شده در صفحه z را پوشش دهد. برای اینکار از تابعی `plot_latent_space` استفاده شده است. با توجه به شکل ۵-۱) گرید مربعی از -2 تا $+2$ را در نظر می گیریم. نتیجه ی آن برای یک گرید 20×20 به فرم شکل ۶-۱ می باشد.



شکل ۶-۱) نمایش یک گرید در فضای Z بصورت مربعی

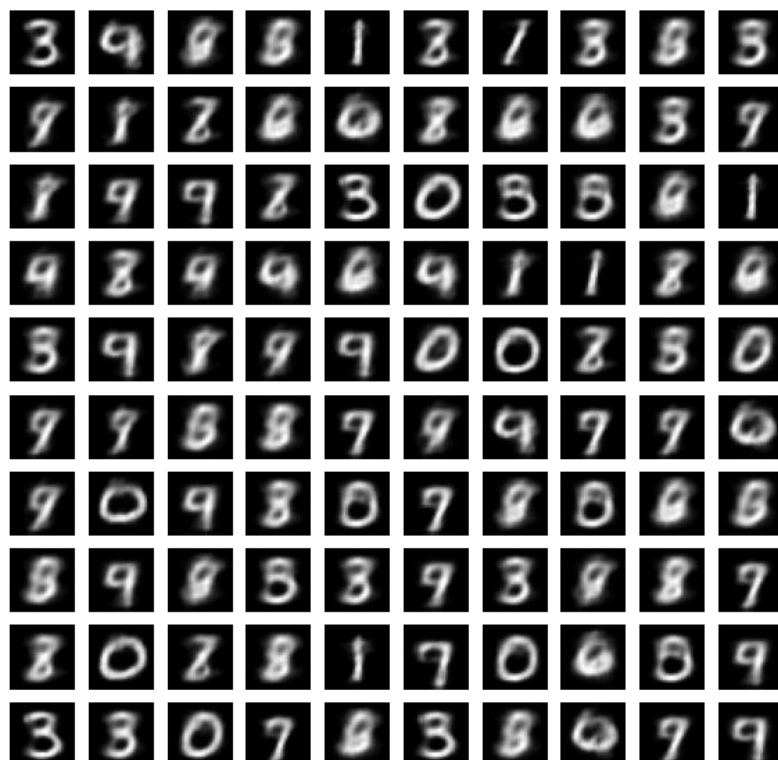
(و)

ابتدا تصویر اوریجینال ۱۰ در ۱۰ استفاده شده را می آوریم.

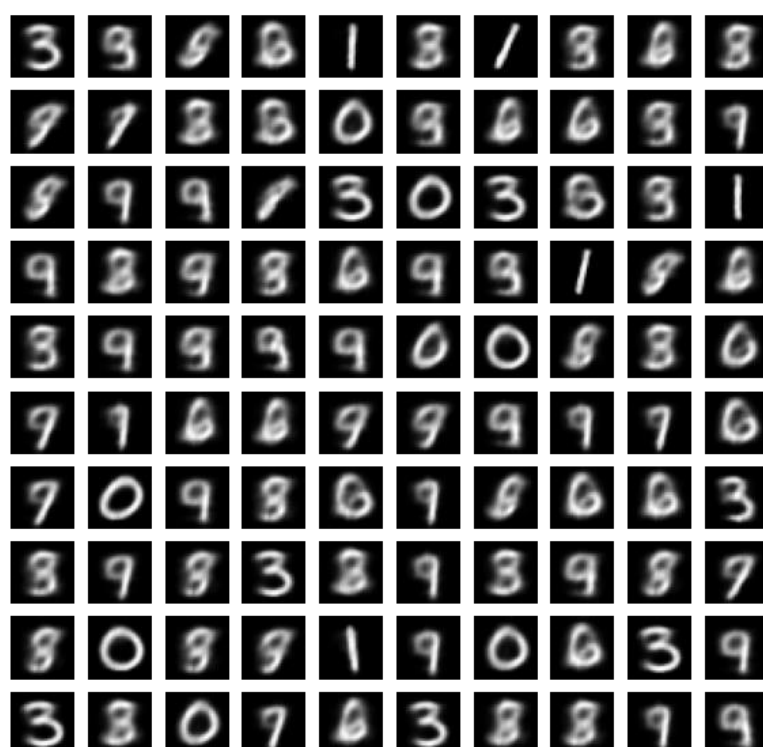


شکل ۱-۷) تصویر original

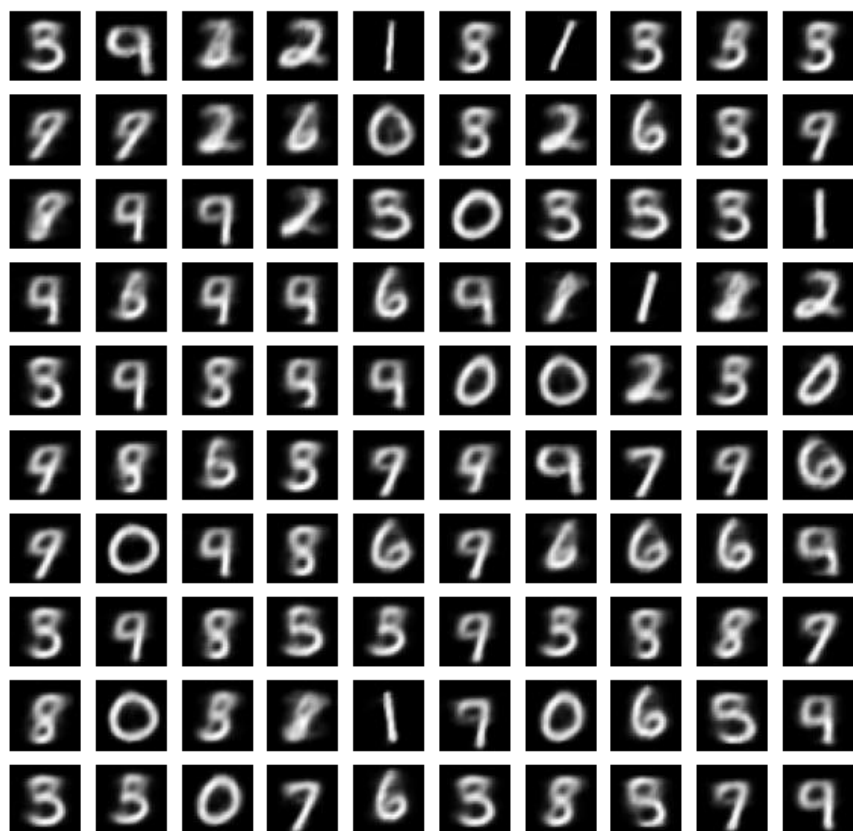
در ادامه تصاویر بازیابی شده در ایپاک های به ترتیب ۱ و ۲ و ۴ و ۵ و ۱۰ آورده می شوند. برای این کار از یک callback برای ذخیره کردن وزن ها در ایپاک های ذکر شده استفاده شده است.



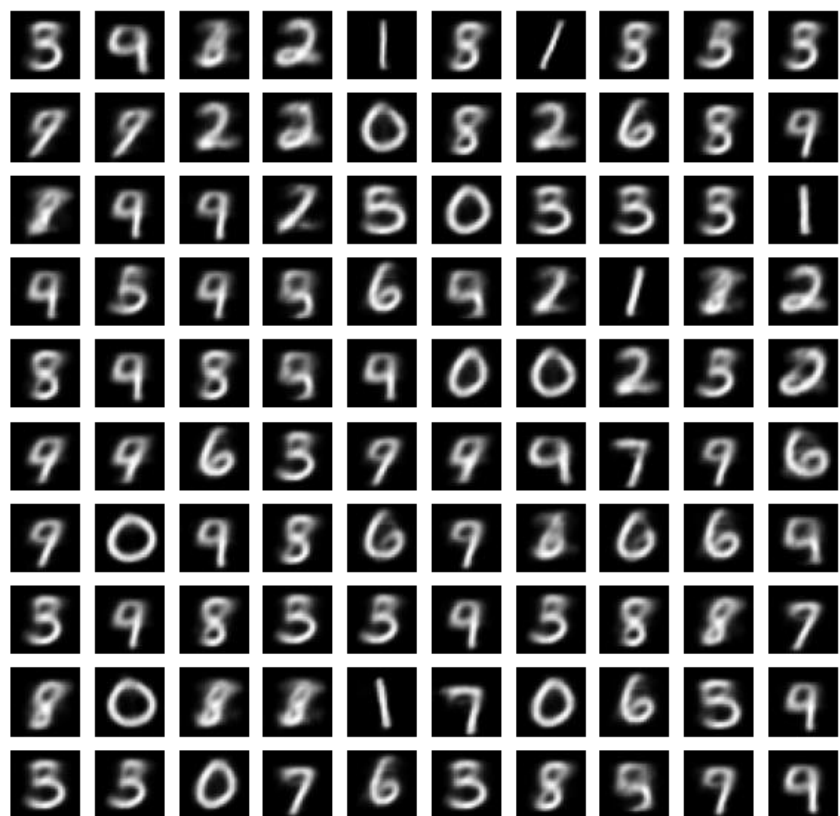
شکل ۸-۱) تصاویر ساخته شده بعد از اولین ایپاک



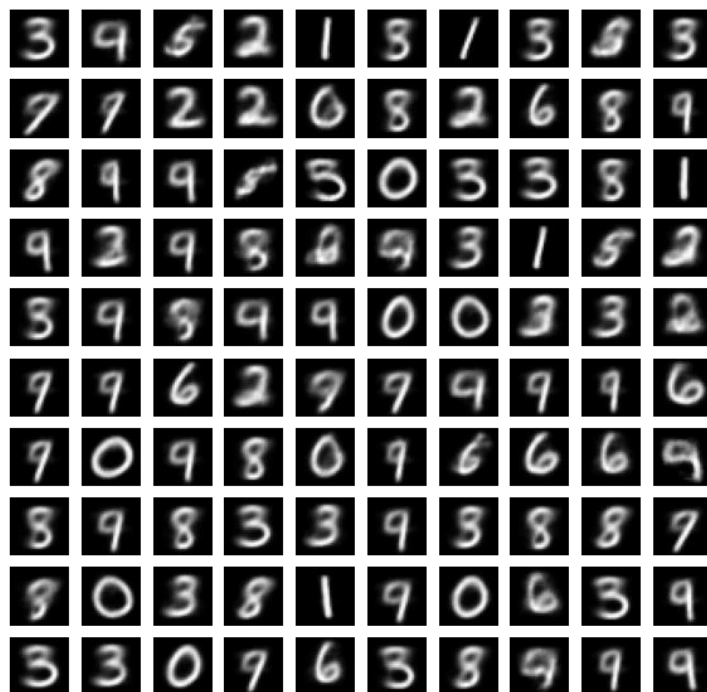
شکل ۹-۱) تصاویر ساخته شده بعد از دومین ایپاک



شکل (۱۰-۱) تصاویر ساخته شده بعد از چهارمین اپیاک



شکل ۱-۱۱) تصاویر ساخته شده بعد از پنجمین ایپاک

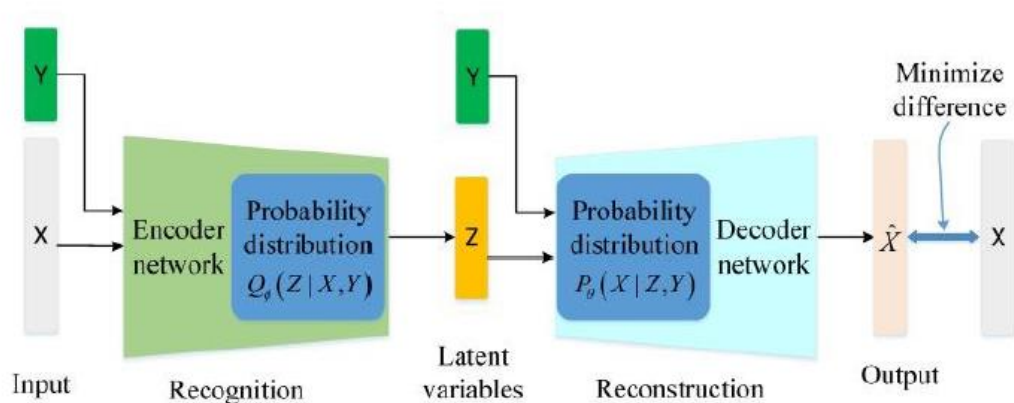


شکل ۱-۱۲) تصاویر ساخته شده بعد از دهمین اپاک

بعد از دهمین اپاک دیگر تغییر محسوسی در loss صورت نمی گیرد. با توجه به اشکال فوق روند بهبود بخصوص در بعضی از درایه ها مثل سومین درایه که در آخرین شکل به صورت خوبی به 5 تغییر یافته شده مشخص است.

Conditional VAE:

در این بخش ابتدا با در نظر گرفتن همان ساختار بکار رفته در شبکه قبلی ، به تفاوت های این دو ساختار می پردازیم. همانگونه که در شکل ۱۳-۱ مشخص است Y که لیبل هر سمپل هست در هر دو بخش encoder و decoder بصورت one_hot کد شده و در کنار بردار x و z اعمال می شود. این کار باعث می شود که تمامی توزیع های توصیف شده در VAE نیز بصورت شرطی درآیند که می تواند به ما در جهت داشتن کنترل بهتر بر روی خروجی generator و از بین بردن نویز کمک کند. در بخش بعد معماری بکار رفته در این قسمت را بررسی می نماییم.



شکل ۱۳-۱) ساختار CVAE

(ز)

بعد از اعمال preprocess معمول آرایش زیر را برای قسمت encoder داریم.

Layer (type)	Output Shape	Param #	Connected to
input_16 (InputLayer)	[(None, 784)]	0	
input_17 (InputLayer)	[(None, 10)]	0	
concatenate_10 (Concatenate)	(None, 794)	0	input_16[0][0] input_17[0][0]
dense_35 (Dense)	(None, 512)	407040	concatenate_10[0][0]
dense_36 (Dense)	(None, 256)	131328	dense_35[0][0]
dense_37 (Dense)	(None, 2)	514	dense_36[0][0]
dense_38 (Dense)	(None, 2)	514	dense_36[0][0]

شکل ۱۴-۱) ساختار encoder بکار رفته

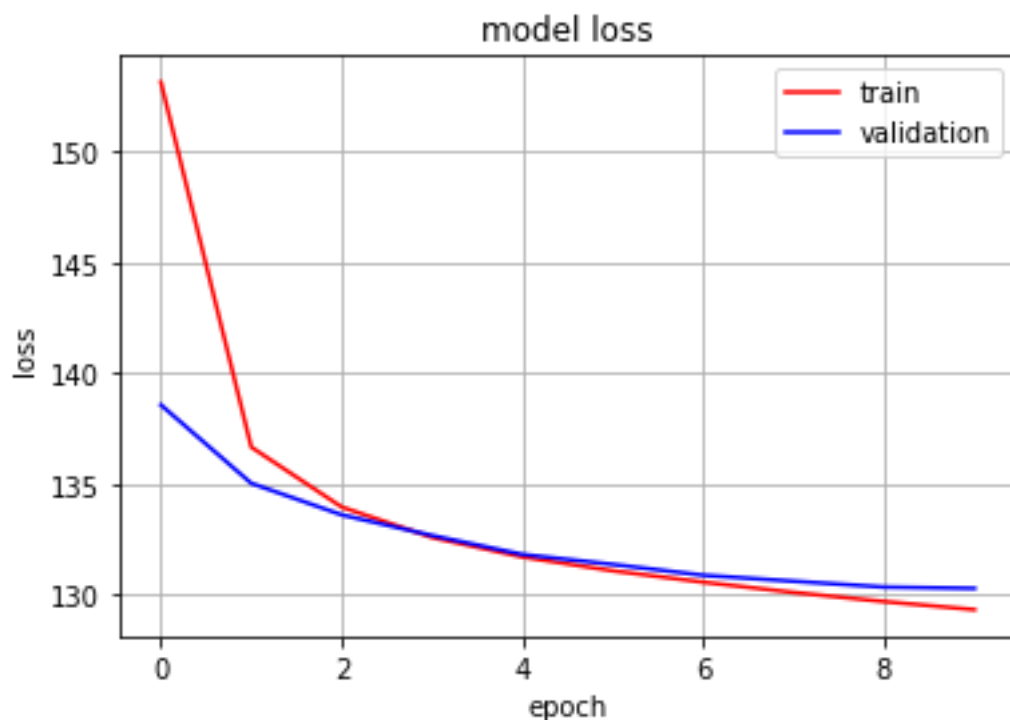
در این قسمت ابتدا ورودی `flatten` شده با لیبل `concatenate` شده و در ادامه به کمک لایه های `Dense` ابتدا ابعاد کاهش پیدا کرده و سپس به کمک همان `sampling` توضیح داده شده در قسمت قبلی داده ها را به فضای `latent` دو بعدی می بریم.

در بخش دیکودر نیز در ابتدا لیبل را با بردار `z` در برای هر `concatenate` کرده و در ادامه توسط لایه های `Dense` سعی در بازسازی ورودی تغییر یافته داریم. لازم به ذکر است که از همان تابع `loss` بکار رفته برای `VAE` استفاده شده است.

<code>tf.convert_to_tensor_15 (TFOpLa (50, 784)</code>	0	<code>dense_41[0][0]</code>
<code>tf.math.subtract_10 (TFOpLambda (None, 2)</code>	0	<code>tf.__operators__.add_10[0][0]</code> <code>dense_38[0][0]</code>
<code>tf.keras.backend.binary_crossentropy (50, 784)</code>	0	<code>tf.cast_5[0][0]</code> <code>tf.convert_to_tensor_15[0][0]</code>
<code>tf.math.subtract_11 (TFOpLambda (None, 2)</code>	0	<code>tf.math.subtract_10[0][0]</code>
<code>tf.math.reduce_mean_5 (TFOpLambd (50,)</code>	0	<code>tf.keras.backend.binary_crossentropy</code>
<code>tf.math.reduce_sum_5 (TFOpLambd (None,)</code>	0	<code>tf.math.subtract_11[0][0]</code>
<code>tf.math.multiply_10 (TFOpLambda (50,)</code>	0	<code>tf.math.reduce_mean_5[0][0]</code>
<code>tf.math.multiply_11 (TFOpLambda (None,)</code>	0	<code>tf.math.reduce_sum_5[0][0]</code>
<code>tf.__operators__.add_11 (TFOpLa (50,)</code>	0	<code>tf.math.multiply_10[0][0]</code> <code>tf.math.multiply_11[0][0]</code>
<code>add_loss_5 (AddLoss)</code>	<code>(50,)</code>	<code>tf.__operators__.add_11[0][0]</code>

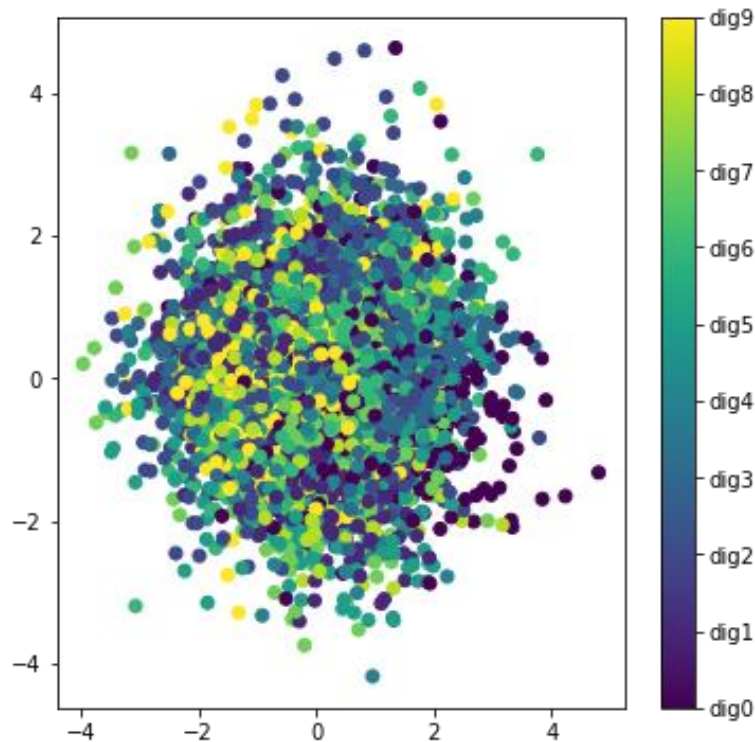
شکل ۱۵-۱) ساختار Decoder بکار رفته

در ادامه نتایج حاصل از پیاده سازی این شبکه در ده اپیاک بیان می گردد.



شکل ۱۶-۱) نمودار loss بر حسب اپیاک

ح) داده های ترین Mnist را که به فضای z یا latent برده شده اند توسط scatterplot با توجه به کلاس رقم مربوط به آن در شکل ۱۷-۱ آورده ایم.

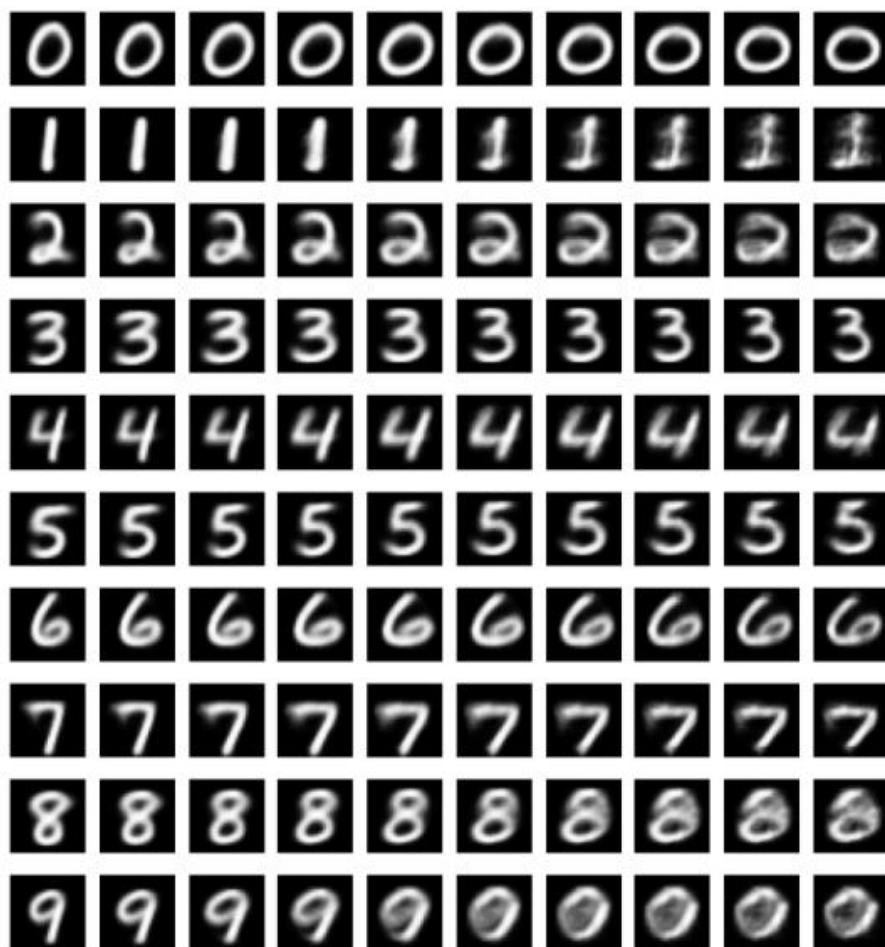


شکل ۱۷-۱) نحوه پخش داده های مرتبط بل هر کلاس در فضای z

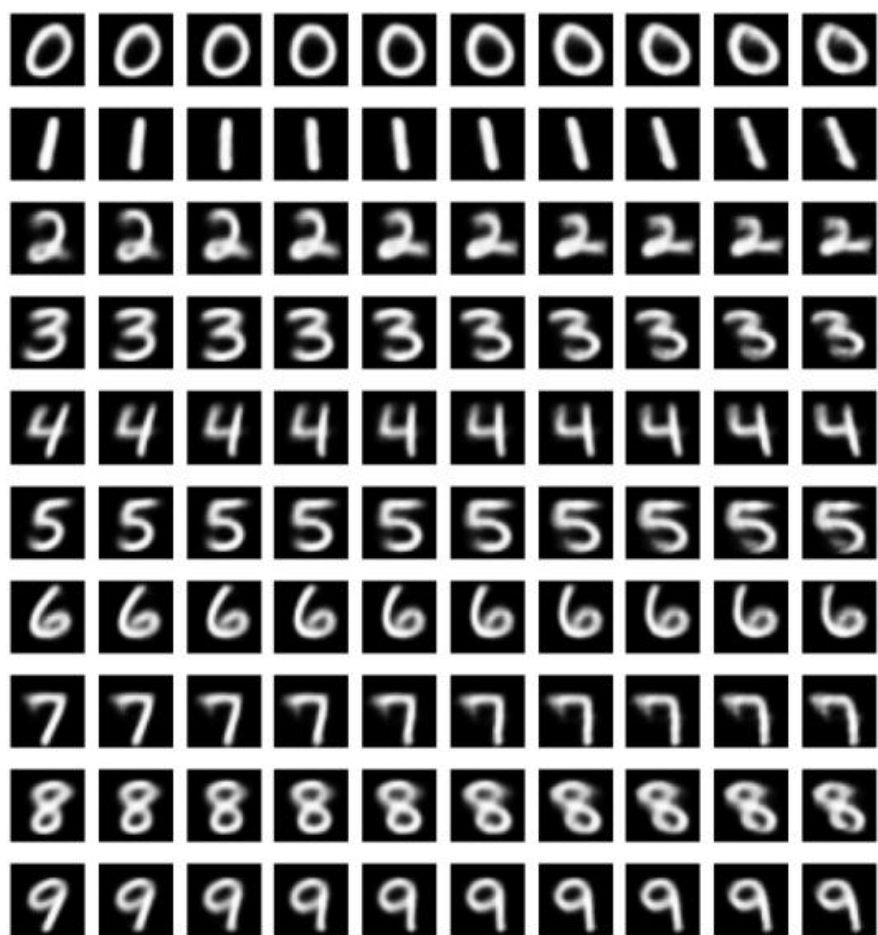
با توجه به شکل فوق همانطور که بیان شد برای داشتن کنترل بهتر بر روی خروجی تولید شده از CVAE استفاده نمودیم. با بررسی و مقایسه ی این شکل و شکل قسمت دال مشخص است که در Cvae داده های کلاس ها در هم تنیده هستند. علت آن هست که با توجه به در نظر گرفتن و وارد کردن لیبل هر عکس در ورودی انکودر و دیکودر داده های هر کلاس را جداگانه بررسی می نماییم و نیازی به جداسازی آن ها در فضای z نداریم.

در ادامه نحوه تولید داده برای هر رقم بررسی شده است. این تغییرات با توجه به شکل ۱۷-۱ برای هر رقم و در دو راستای x و y در نظر گرفته می شوند.

ط) برای نتیجه گیری بهتر این قسمت برای تمامی عدد ها آورده شده است.

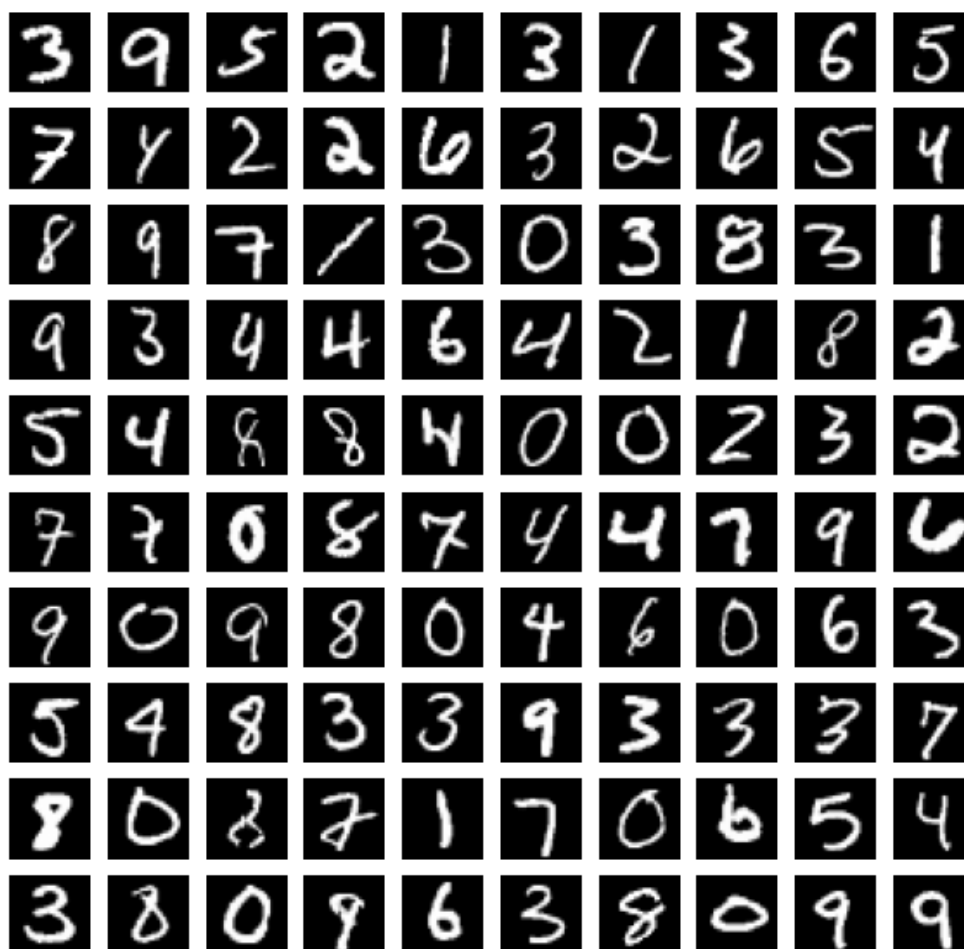


شکل (۱۸-۱) تغییرات در صفحه Z و در راستای X برای هر رقم



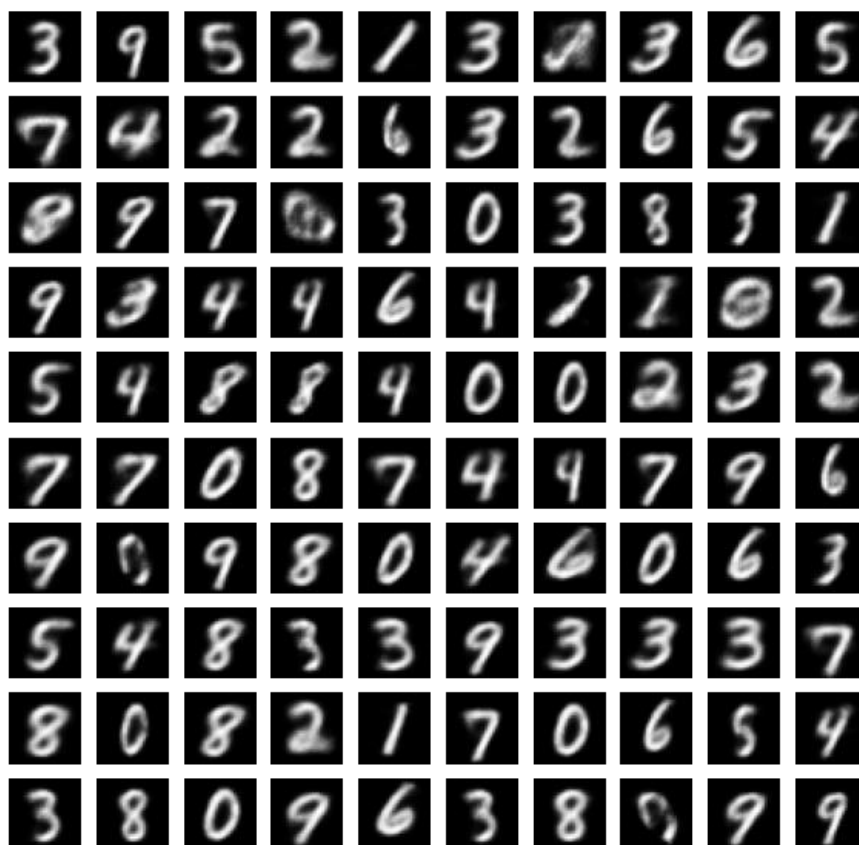
شکل (۱۹-۱) تغییرات در صفحه Z و در راستای Y برای هر رقم

ی (ابتدا تصویر اوریجینال بکار رفته در این بخش را می آوریم.

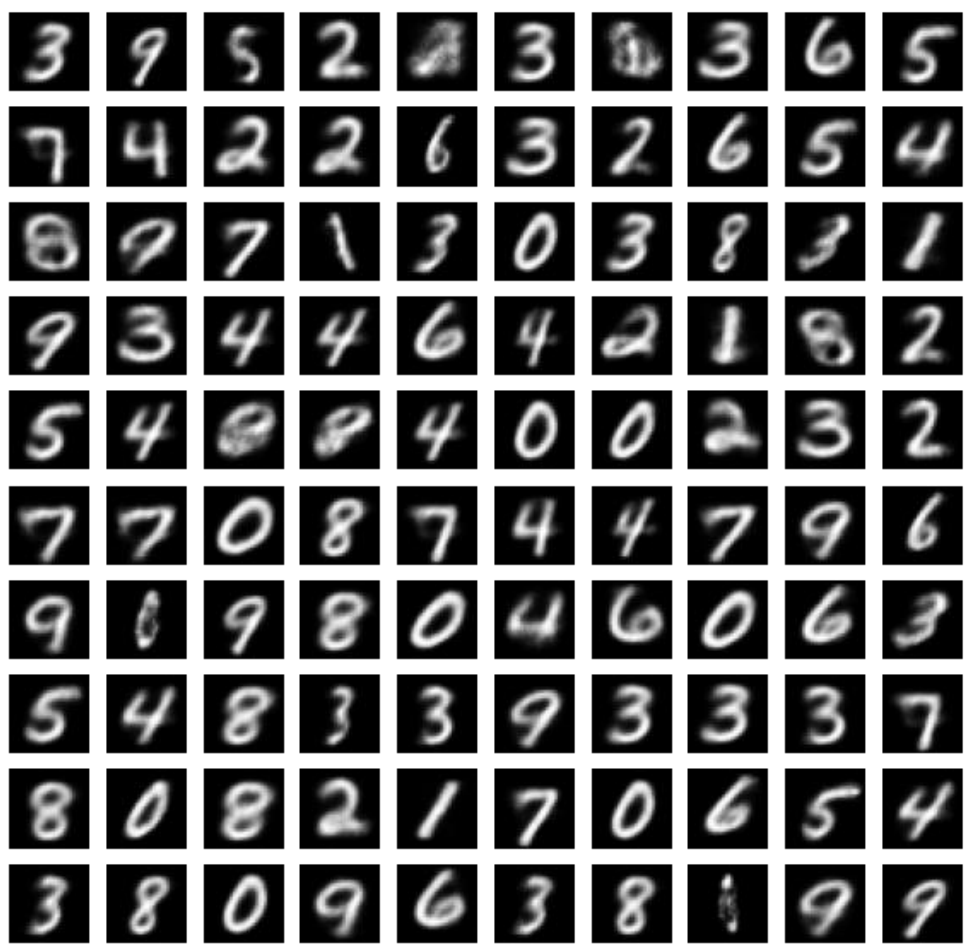


شکل ۱-۲۰) تصویر Original

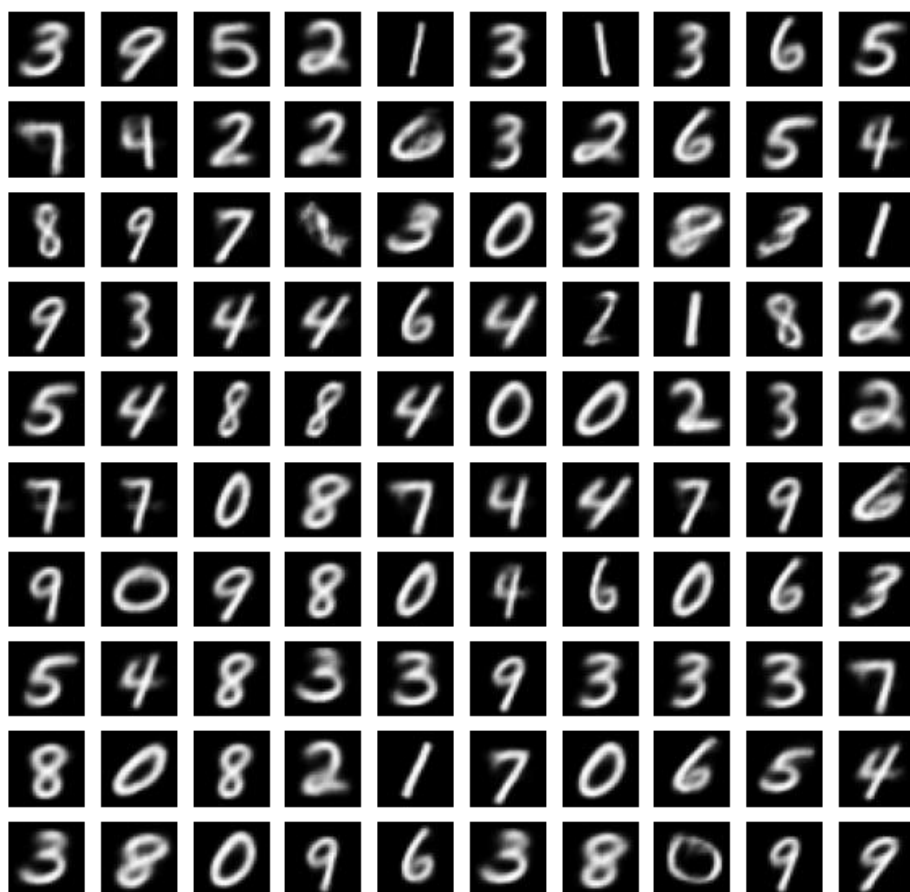
حال نتایج تصاویر ساخته شده در ایپاک های ۱ و ۲ و ۴ و ۵ و ۱۰ آورده می شوند.



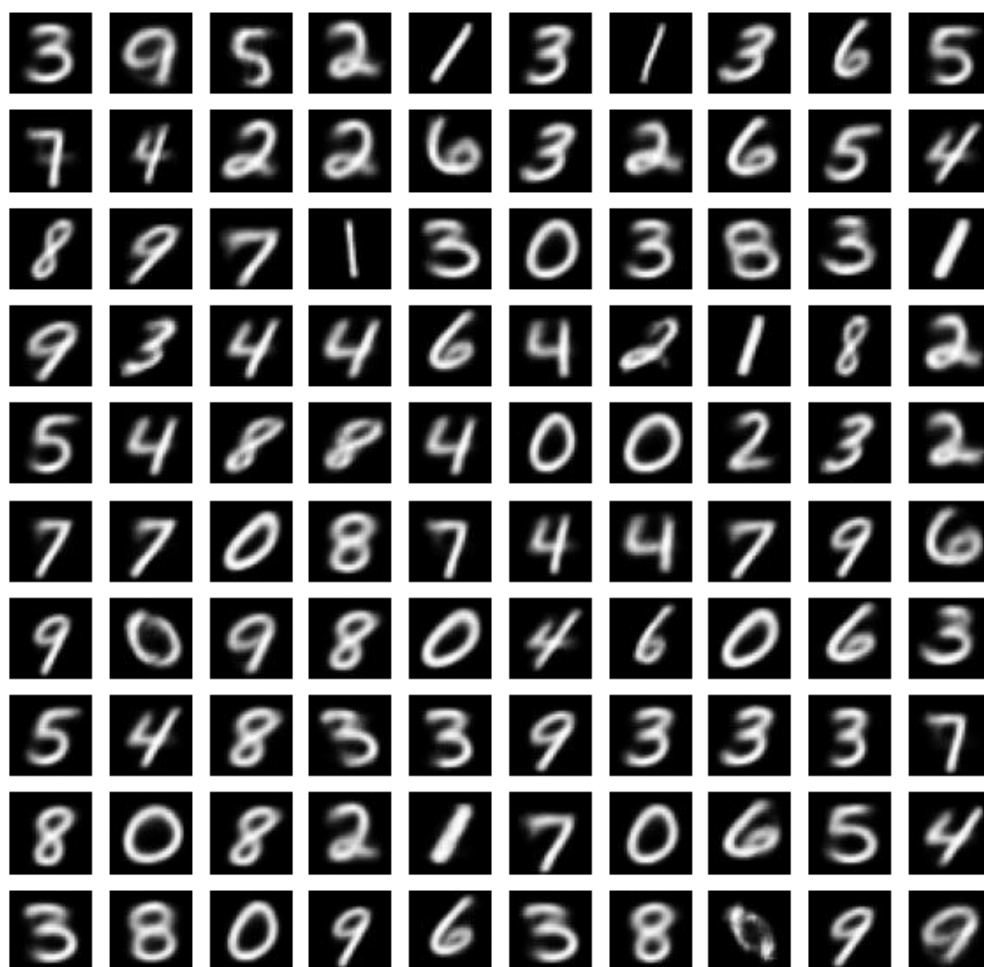
شکل ۱-۲۱) تصاویر ساخته شده بعد از اولین ایپاک



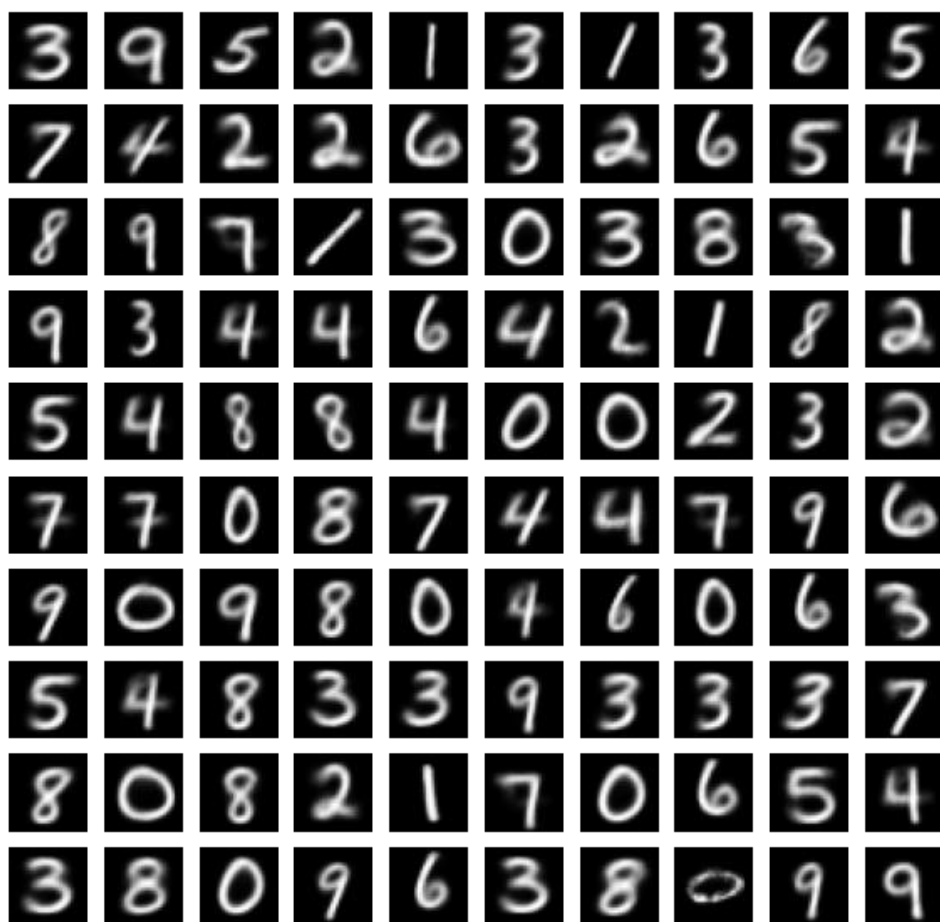
شکل (۲۲-۱) تصاویر ساخته شده بعد از دومین ایپاک



شکل ۱-۲۳) تصاویر ساخته شده بعد از چهارمین اپیاک



شکل ۱-۲۴) تصاویر ساخته شده بعد از پنجمین ایپاک



شکل ۱-۲۵) تصاویر ساخته شده بعد از دهمین اپیاک

مقایسه ی نتایج این قسمت با قسمت ((و)) مشخص می کند که با توجه به مقید شدن توزیع به کلاس مرتبط با هر رقم شکل های ساخته شده از روی تصویر اصلی با آزادی عمل کمتری ساخته شده و در کلاس خود (رقم مشخص) باقی می ماند.

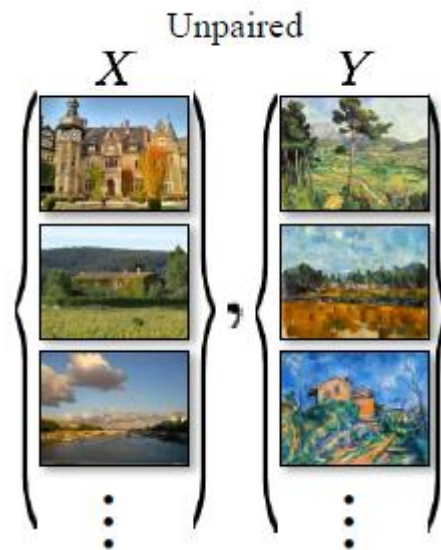
سوال ۲ – Cycle GAN

1) در این سوال به تحلیل و بررسی و پیاده سازی Cycle GAN میپردازیم. با توجه به مقاله هدف اصلی Cycle GAN این است که بتوانیم تصاویر از دو فضای مختلف را به یکدیگر تبدیل کنیم. معمولاً در مسائل داده ها به صورت جفت هستند و آموزش روی آن ها صورت میگیرد. مثلاً داده ها مانند شکل 1-2 هستند که مشاهده می شود به ازای هر داده جفتی مربوط به آن داده شده است.



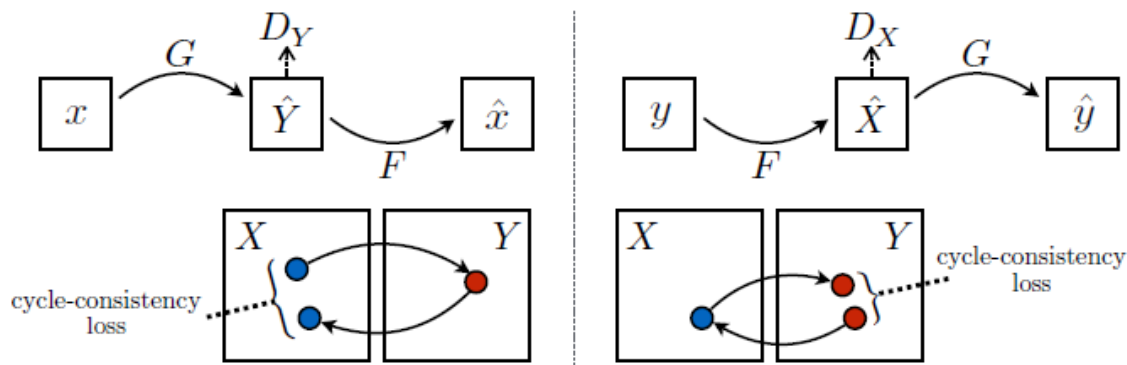
شکل 1-2: نمونه داده های جفت

اما در این مسئله داده ها به صورت جفت نیستند و صرفاً تعدادی از آن ها در یک فضا و تعدادی در فضای دیگر موجود است و تناظر 1 به 1 بین آن ها نیست. در برخی مسائل ممکن است که داده ها به این صورت باشند چون حتماً متناظر آن ها در فضای دیگر موجود نیست. برای مثال در همین مسئله ما عکس واقعی نقاشی هارا در اختیار نداریم و نقاشی از روی تصاویر واقعی نیز نداریم. نمونه این داده ها را در شکل 2-2 میتوان مشاهده کرد.



شکل 2-2: مجموعه داده غیر جفت در دو فضای مختلف

در این مقاله روش ارائه شده بر این پایه است که بتوانیم قابلیت تبدیل از هر دو فضا به یکدیگر را داشته باشیم. پس نیاز به دو Generator و دو Discriminator داریم، به این صورت که ورودی اگر از فضای X باشد با Generator مثلا G به فضای Y می‌رود و در آنجا با D_Y بررسی می‌شود. برای Y هم به همین صورت با یک تابع F به فضای X می‌رود و با یک D_X بررسی می‌شود. حال برای اینکه تصاویر به خوبی به هم تبدیل شوند و همه به یک نقطه همگرا نشوند در فضای تبدیل باید G و F معکوس هم باشند و هر نقطه را که به فضای Y می‌بریم با اعمال F باید تا حد امکان به نقطه اصلی خود برگردد. بر این اساس یک loss مهم در این شبکه تعریف می‌شود که باید آنرا کمینه کرد تا به این هدف برسیم که Cycle consistency loss می‌باشد. این تابع خطا را در تبدیل از فضای X به Y و برگشت مجدد X می‌سنجد و برعکس. در شکل 2-3 میتوان تصویری از مفهوم این خطا را دید.



شکل 2-3: Cycle Consistency Loss

دو تابع loss دیگر نیز برای این شبکه تعریف میشود که یکی از آن ها Adversial loss است. که در آن G سعی میکند تصویری تولید کند فضای Y که مشابهت زیاد داشته باشد در حالی که Dy نیز در راستای این حرکت میکند که هر بار بهتر تشخیص دهد. Loss اخر نیز Identity loss است. این خطا به این معنا تعریف میشود که اگر ما یک تصویر از فضای Y را به تابع G بدهیم باید بتواند خود Y را به ما بدهد و تصویر دیگری تولید نکند چون خودش از همان فضا است. تمام 3 خطای گفته شده باید دو طرفه محاسبه شوند یعنی هم برای تبدیل از X به Y و هم برای Y به X.

در زیر می توان فرمول Identity Loss را مشاهده کرد که در کد پیاده سازی شده است:

$$\text{Identity loss} = |G(y) - y| + |F(x) - x|$$

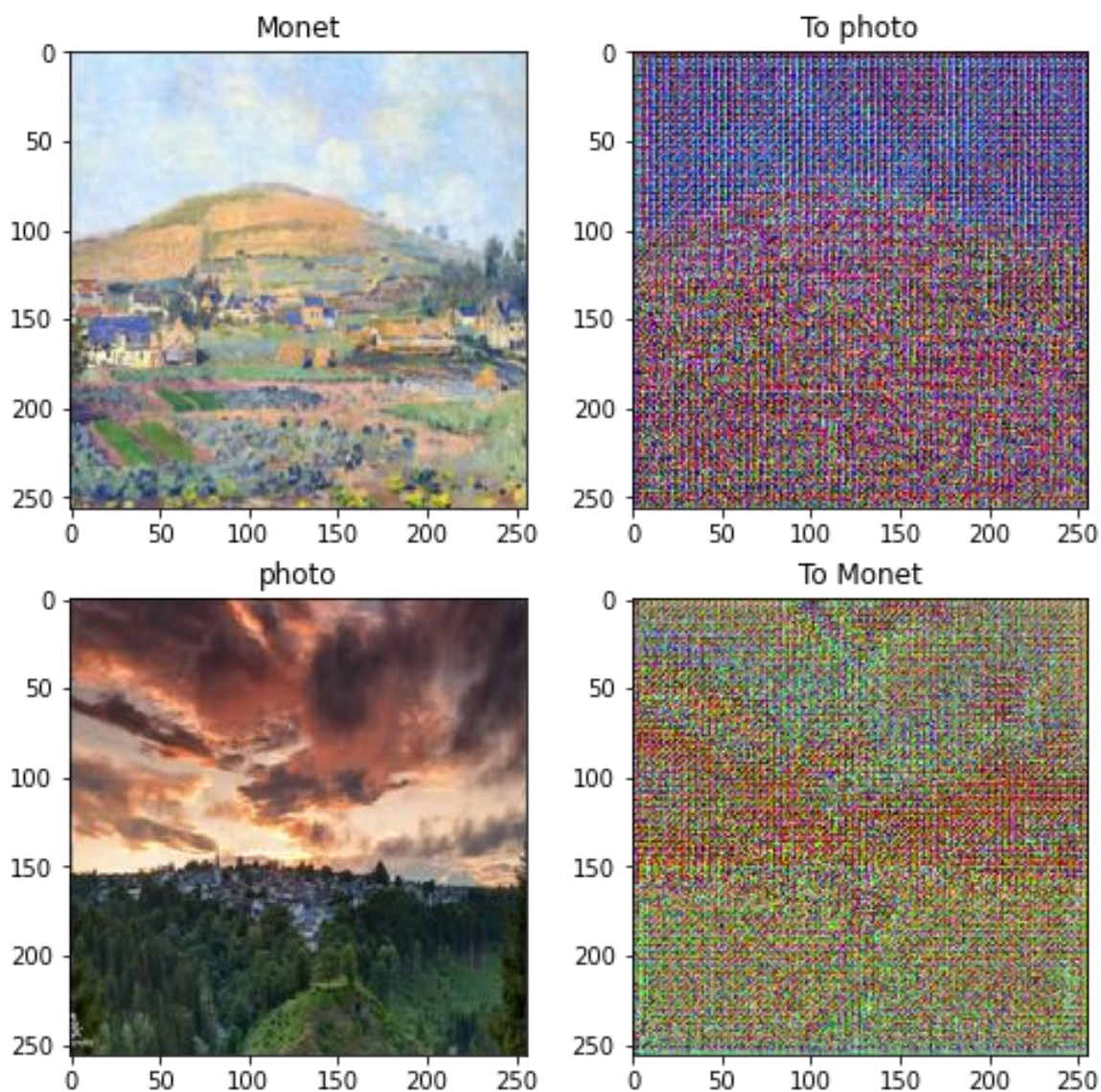
تابع خطا کلی سیستم نیز که باید آنرا کمینه کنیم به صورت زیر می شود:

$$L(G, F, D_x, D_y) = L_{\text{Identity}} + L_{\text{Adversial}} + \lambda * L_{\text{Cycle_Consistency}}$$

2 در ایجاد Discriminator این شبکه از Patch GAN استفاده شده است. به این روش همچنین Markovian Discriminator نیز می گویند. برای جلوگیری از اینکه تصاویر تولیدی به صورت blurry نباشند از این روش استفاده میکنیم، چون در حالت عادی ممکن است فرکانس های بالا به خوبی تبدیل نشوند و تشخیص داده نشوند. در مسائلی که این مشکل وجود دارد با محدود کردن GAN Discriminator به فرکانس های بالا و تکیه بر اینکه L1 مانند قبل فرکانس های پایین را تصحیح کند. اسم PatchGAN برای این استفاده میشود که discriminator تلاش میکند که بر اساس patch های N*N تشخیص دهد هر کدام واقعی هستند یا جعلی و کل تصویر را یکجا در نظر نمیگیرد. این discriminator به خوبی تصویر را به صورت یک فضای رندوم مارکوف مدل میکند و با در نظر گرفتن استقلال بین پیکسل هایی که در خارج محدوده patch قرار دارند کارش را انجام میدهد.

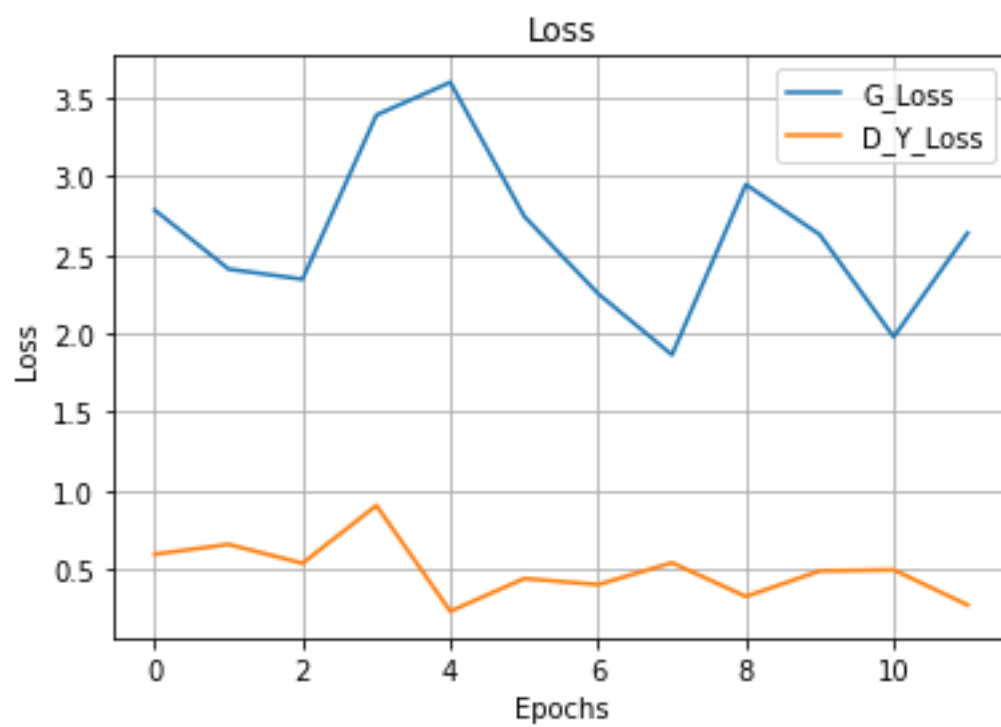
4 در این بخش برای Generator از ساختار encoder – decoder unet استفاده شد. ابتدا داده ها را load کردیم. سپس تعدادی پیش پردازش بر روی آن ها انجام شد که در زمان آموزش از overfitting جلوگیری شود. مثلا قرینه کردن عکس ها و نرمال کردن و سپس patchGAN و Generator را تعریف کردیم.

در ابتدا یک نمونه از هر فضا را به Generator ها دادیم تا نتایج اولیه قبل از آموزش را ببینیم. نتایج در شکل 2-4 آورده شده است.

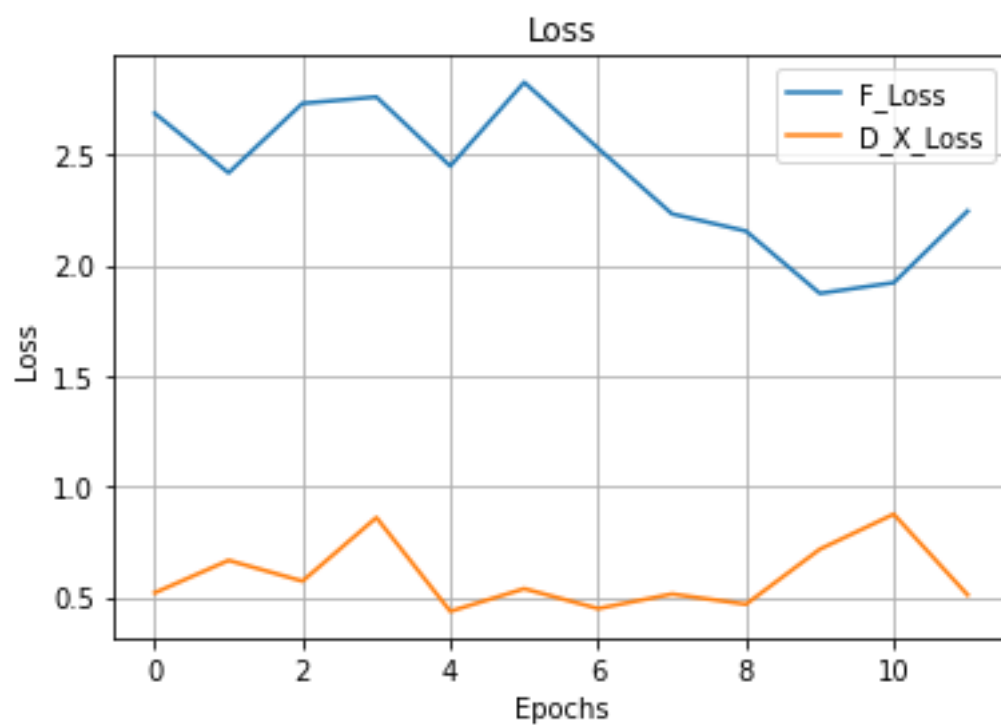


شکل 2-4: نتیجه اعمال تصاویر به generator آموزش ندیده

مشاهده میشود که نتایج بسیار بد هستند. سپس تابع های خطا را تعریف کردیم. بعد هر گام آموزش را که در آن هر بار خطا ها محاسبه شود و با Gradient Descent سعی در بهبود آن ها داشته باشیم. شبکه برای 12 اپاک آموزش داده شد و هر اپاک حدود 460 ثانیه طول میکشید. روند تغییرات loss ها در شکل های 2-5 و 2-6 آورده شده است.



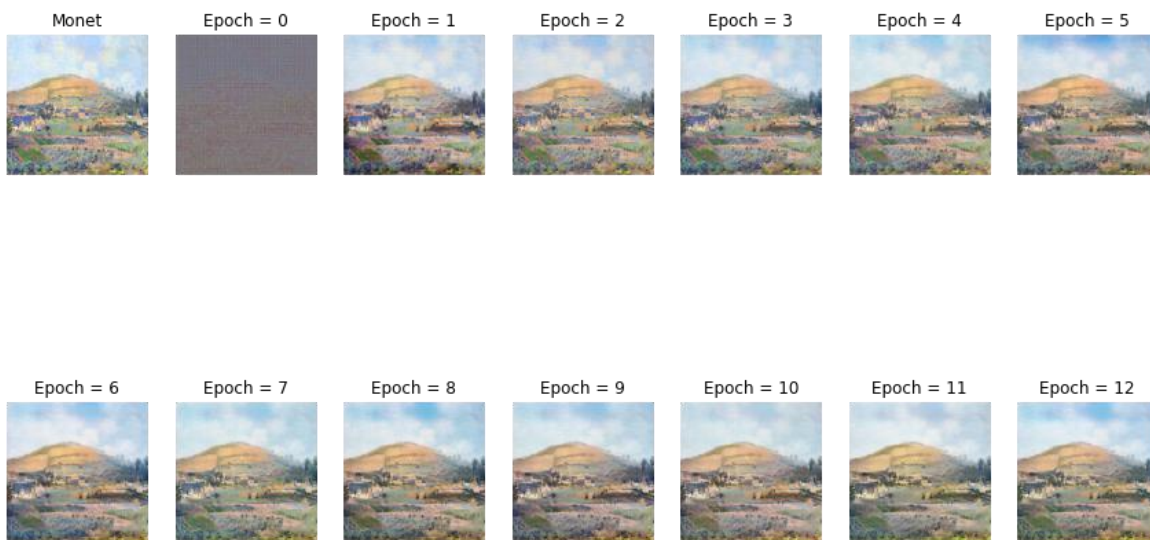
شکل 2-5: تغییرات loss برای G و Dy



شکل 2-6: تغییرات loss برای F و Dx

مشاهده میشود که خطاها دائماً در حال کم و زیاد شدن هستند ولی میتوان گفت روند کلی آنها در حال کاهش است. همچنین این شبکه در تعداد ایپاک کمی آموزش دیده است و نمیتوان نتایج دقیقی از آن انتظار داشت.

نتایج اعمال Generator تبدیل monet به photo در هر ایپاک برای تصویر نمونه اولیه در شکل 2-7 آورده شده است. همچنین برای دقیق تر مشخص بودن روند تغییرات همین تصاویر برای صرفاً ایپاک اول و آخر نیز در شکل 2-8 آورده شده است.



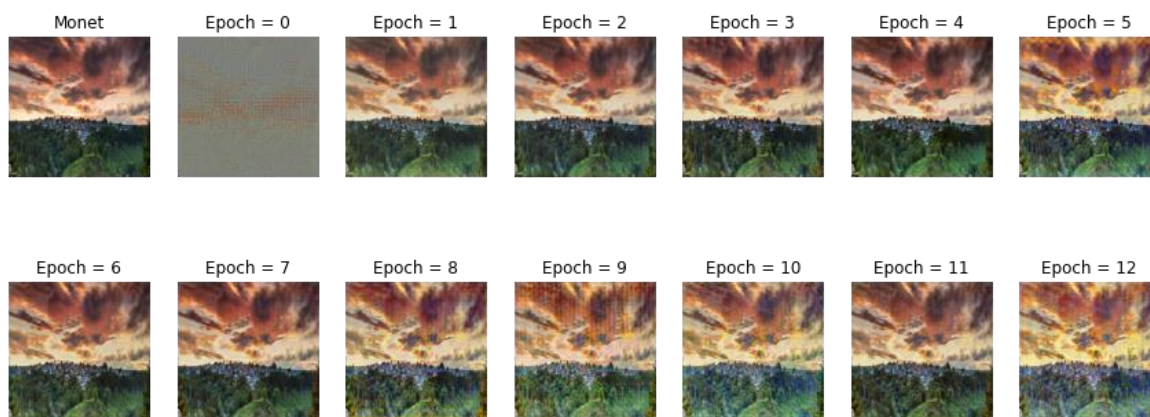
شکل 2-7: نتایج هر ایپاک Monet2Photo



شکل 2-8: نتایج Monet2Photo برای ایپاک 1 و 12

مشاهده میشود در مقایسه با تصویر اصلی و ایپاک اول به نظر شبکه در جهت درستی دارد پیش می رود و با افزایش تعداد ایپاک ها میتوان نتایج بهتری نیز از آن گرفت.

همین کار برای Photo2Monet نیز انجام شد و نتایج در شکل های 2-9 و 2-10 آورده شده است.

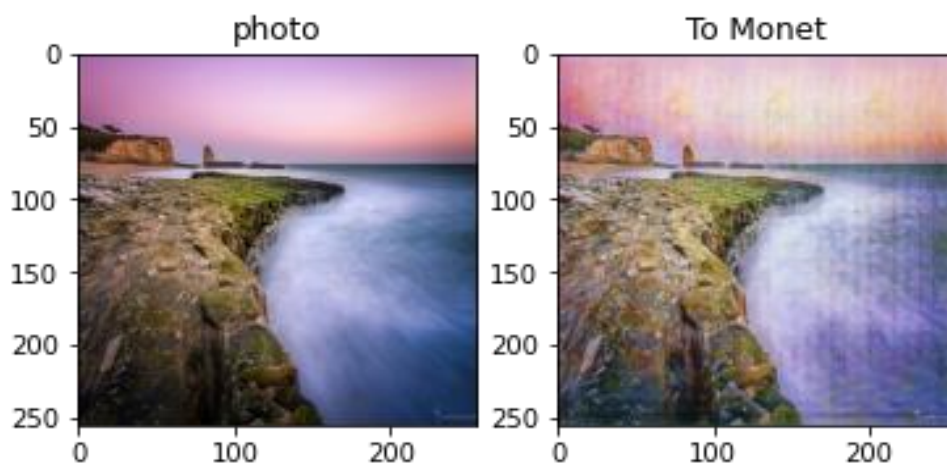


شکل 2-9: نتایج تبدیل Photo2Monet در 12 اپیاک



شکل 2-10: نتایج تبدیل Photo2Monet در اپیاک 1 و 11

مشاهده می شود Generator برای تبدیل عکس به Monet به نظر بهتر کار میکند که با توجه به کمتر بودن آن loss طبیعی است. در کل هر دو generator در 12 اپیاک تصاویر قابل قبولی را دادند. همچنین شبکه با 2 داده تست نیز بررسی شد که نتایج آن در شکل های 2-11 و 2-12 آورده شده است.



شکل 2-11: نتیجه تست Photo2Monet

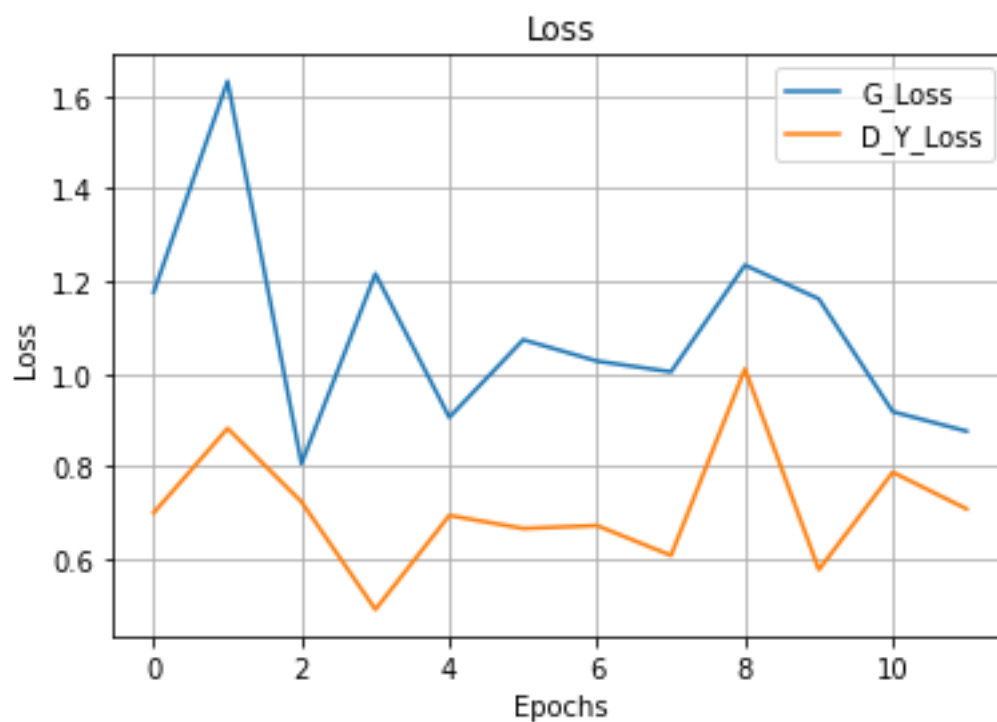


شکل 2-12: نتیجه تست Monet2Photo

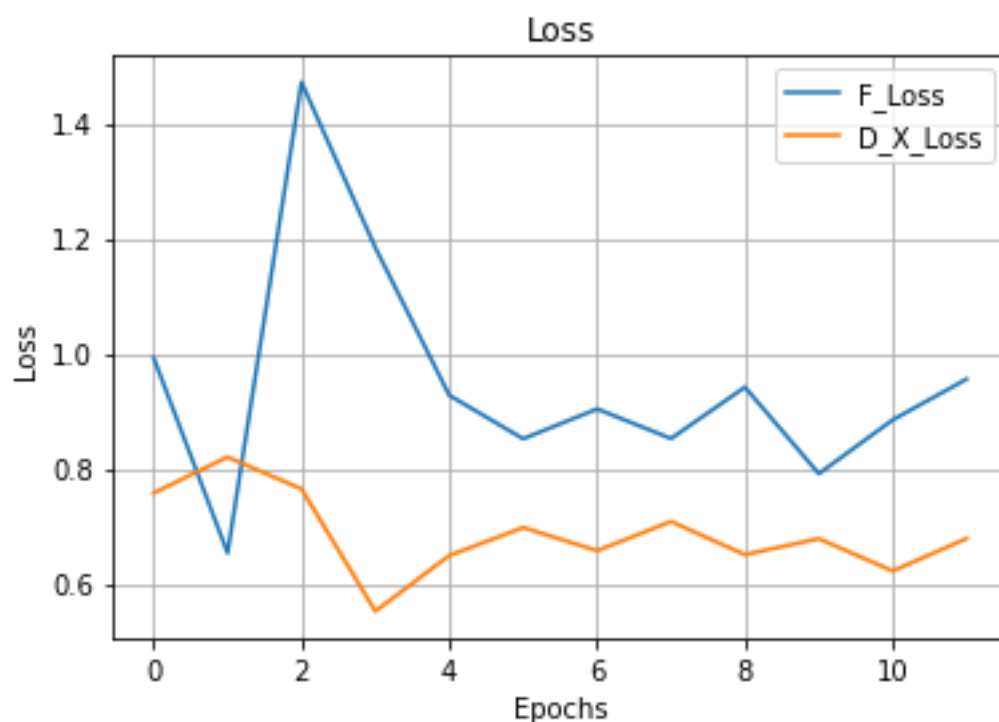
که مشاهده میشود با توجه به 12 ایپاک نتایج قابل قبولی گرفته ایم.

5) با حذف Cycle Consistency loss از loss ها الگوریتم مشابه قبل اجرا شد. این بار زمان آموزش هر ایپاک حدود 340 ثانیه شد.

نمودار مقادیر loss در هر ایپاک در شکل های 2-13 و 2-14 آورده شده است.



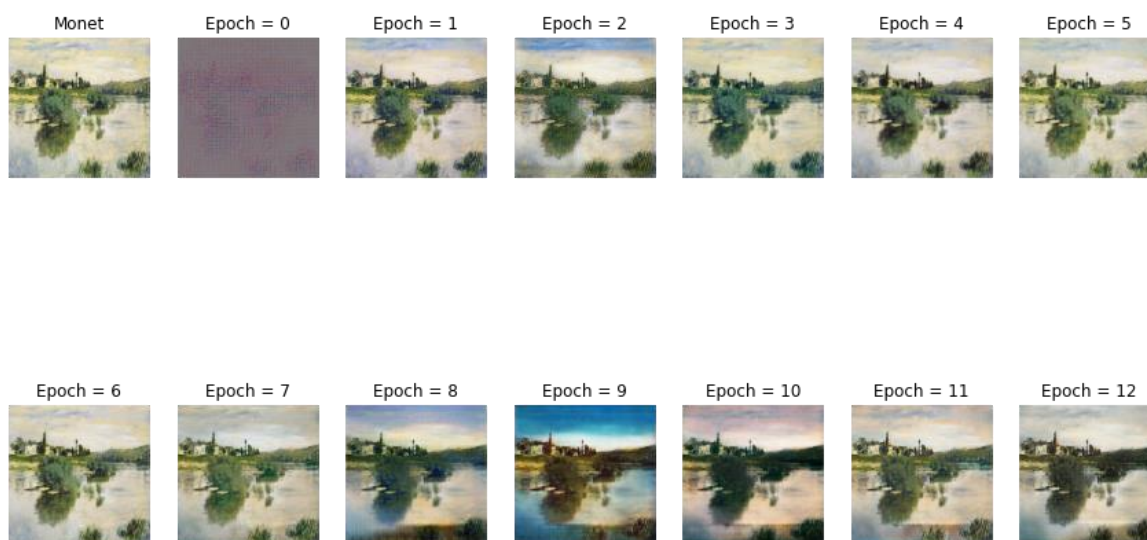
شکل 2-13: تغییرات loss برای G و Dy



شکل 2-14: تغییرات loss برای F و Dx

مشاهده می شود به نسبت قبل loss کمتری داریم ولی این به معنی بهتر بودن مدل نیست و به این دلیل است که یکی از ترم های loss را حذف کرده ایم و باید نتایج را بر اساس تصاویر تحلیل و مقایسه کرد.

نتایج تصاویر در هر اپاک برای Monet2Photo در شکل های 2-15 و 2-16 آورده شده است.



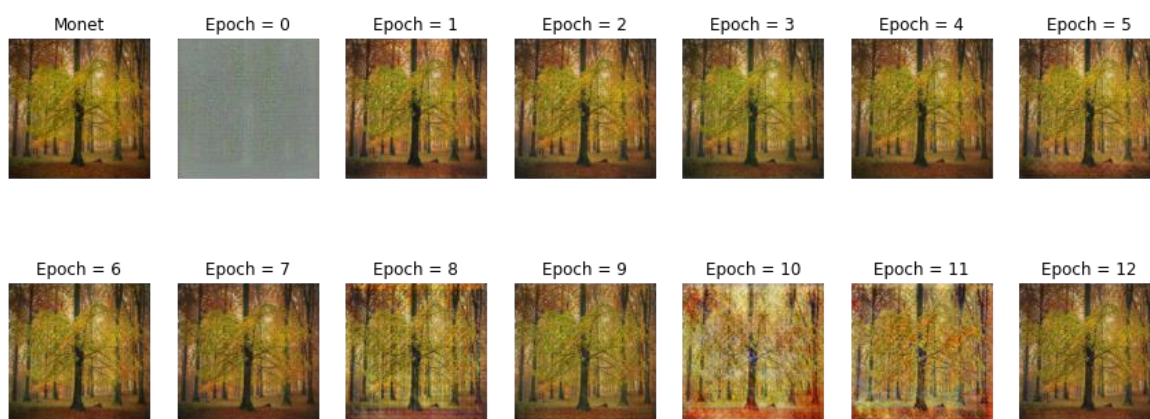
شکل 2-15: نتایج خروجی G در هر اپاک برای Monet2Photo



شکل 2-16: نتیجه خروجی Monet2Photo برای اپیک اول و 12

مشاهده میشود در این حالت نیز خروجی قابل قبول است و تصویر خوبی داده است. اما باید تحلیل دقیقتر را برای مقایسه با حالت قبلی در تعداد اپیک بیشتر بررسی کرد که نتایج قابل اتکا باشند.

همچنین نتایج Photo2Monet نیز به صورت شکل های 2-17 و 2-18 بدست آمد.



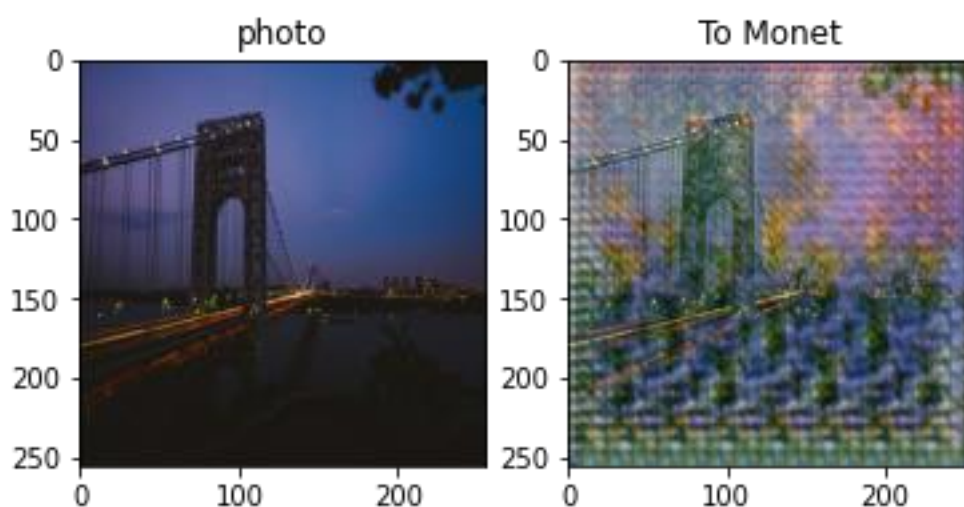
شکل 2-17: نتایج خروجی F برای photo2Monet



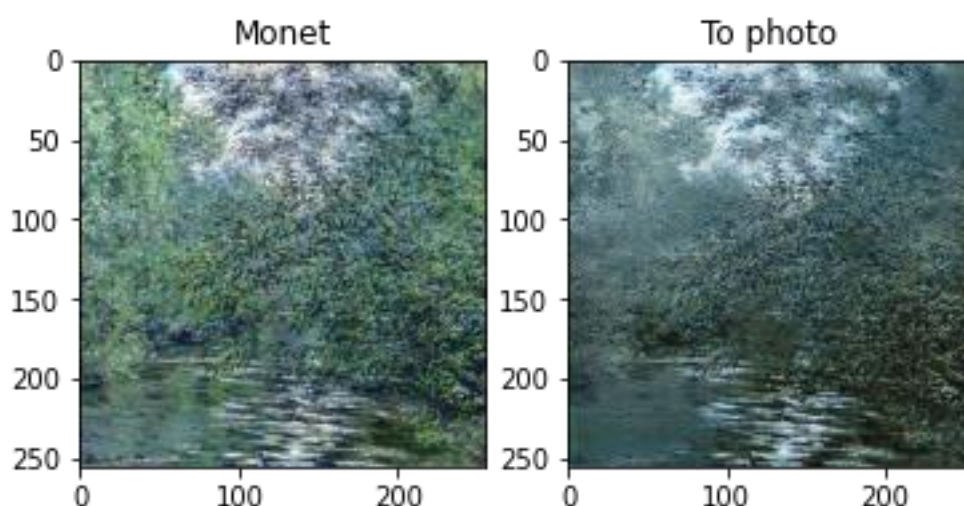
شکل 2-18: نتیجه Photo2Monet برای اپیک 1 و 11

که در این حالت هم نتایج قابل قبول هستند.

همچنین برای 2 داده تست خروجی ها را بررسی کردیم که بصورت شکل ها 19-2 و 20-2 بدست آمد.



شکل 19-2: نتیجه تست Photo2Monet



شکل 20-2: نتیجه تست Monet2Photo

با حذف cycle consistency loss مشاهده میشود نتایج بر روی تست نویز زیادی دارد ولی باز هم قابل قبول هستند. اما در مقایسه با حالت سوال 4 به نظر نتایج حالت 4 روی داده تست بهتر بود.